

九州大学 正員 上田 年次古  
 .. 正員 藤野 和徳  
 .. 正員 神野 健二

## 1. まえがき

海岸線近くの砂層地盤中に塩水が浸入して、いわゆる塩水楔を形成するが、その形状や流況の解明は地下水取水などで重要な課題である。このような地下密度流の現在までの詳しき多くは淡海岸界面上での分散や分子拡散を無視してよい場合をとり扱っている。しかし塩水楔のようにその混合面が長い場合や粒径などが大きい場合にはその界面での混合は無視できないであろうし、また地下水の塩水化の一つの原因となると考えられる。このため混合の原因となる要因として、代表粒径、密度差などと物理特性量とて含む解が求められることが望ましいと考えられる。本報では二層床のモデルとして図-1に示すように、下部に塩水が静止している状態のところに、上部に一様流速の淡水を流入した場合の界面の混合について、流速分布、密度分布には相似則が成り立つと仮定し、分散係数にはMarleman<sup>1)</sup>の実験結果をもとに近似的に求めた分散係数を用いて解析し、これを一部実験と比較した。

## 2. 解の説導

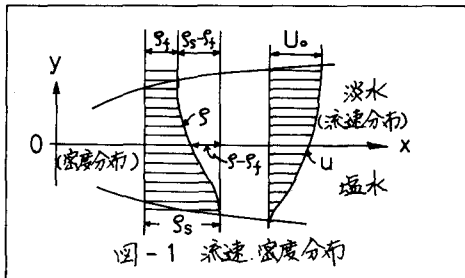
## 基礎方程式

$$\text{連続の式} \quad \frac{\partial u}{\partial x} + \frac{\partial v}{\partial y} = 0 \quad (1)$$

$$\text{運動方程式} \quad u = -\left\{ \frac{g_s - g_f}{R_s g_s \lambda} \right\} \frac{\partial P}{\partial x} \quad (2)$$

$$v = -\left\{ \frac{g_s - g_f}{R_s g_s \lambda} \right\} \left( \frac{\partial P}{\partial y} + \rho g_s \right) \quad (3)$$

$$\begin{aligned} \text{分散方程式} \quad & u \frac{\partial s}{\partial x} + v \frac{\partial s}{\partial y} = 2 \left\{ D_g \frac{\partial^2 s}{\partial y^2} \right\} / \partial y \\ & + D_m \frac{\partial^2 s}{\partial y^2} \end{aligned} \quad (4)$$



ここで  $u$ :  $x$  方向の実流速  $v$ :  $y$  方向の実流速  $\lambda$ : 遷移係数  $g$ : 重力加速度  $\alpha$ : 空気率  $P$ : 圧力  $\rho$ : 密度  $d$ : 粒径  $D_g$ : 流れに直角方向の分散係数で、ここではMarleman<sup>1)</sup>の実験結果をもとに求めた値と  $D_g = (d/25) \cdot u$  とした。また  $D_m$ : 分子拡散係数である。

(1)~(4)式を解くにあたり、流速・密度について相似則が成り立つと仮定し、 $u$ ,  $v$ ,  $\rho$ を次式のようにおく。

$$u = U_0 f(\eta) \quad (5) \quad v = V(x) g(\eta) \quad (6) \quad \rho = \rho_s - (\rho_s - \rho_f) f(\eta) \quad (7)$$

$$\eta = y/R(x) \quad (8) \quad \text{ここで } U_0: \text{主流の流速 } V(x): x \text{によって変る垂直流速 } v \text{ の代表値 } \rho_s: \text{淡水密度 } \rho_f: \text{塩水密度 } R(x): \eta を規定する x 方向の基準長$$

$$(2)(3)式を(1)式に代入すると、 $\frac{\partial P}{\partial x^2} + \frac{\partial^2 P}{\partial y^2} + g_s \frac{\partial s}{\partial y} = 0 \quad (9) \quad (5) \sim (8) \text{式を(2)(3)式に入れ} \text{から} \text{を} (9) \text{式に入れ} \text{て } P \text{を消去すれば} \quad \{U_0 \cdot dR(x)/dx\} \cdot \eta \cdot df(\eta)/d\eta = V(x) \cdot dg(\eta)/d\eta \quad (10)$$$

(10)式は  $x$  の関数の部分と  $\eta$  の関数の部分とに分離されており、これが恒等的に成り立つために 2 つの式がえらべる。

$$U_0 \cdot dR(x)/dx = V(x) \quad (11) \quad \eta \cdot df(\eta)/d\eta = dg(\eta)/d\eta \quad (12)$$

次に(4)式の分散方程式に(5)~(8)式を代入し、 $f(\eta), g(\eta)$ で表わすと次式がえらべる。

$$(25/d) \cdot dR(x)/dx \{ \eta \cdot df(\eta)/d\eta - g(\eta) \cdot dg(\eta)/d\eta \} = - \left( 1/R(x) \right) \left[ \{ df(\eta)/d\eta \}^2 + \{ \eta \cdot df(\eta)/d\eta \} \cdot d^2 f(\eta)/d\eta^2 \right] \quad (13)$$

ここで  $\gamma = 25 \cdot D_g / (d \cdot U_0) = 25 (S_c \cdot Re)^{-1}$   $S_c$ : Schmidt 数 ( $\nu/D_g$ )  $Re$ : Reynolds 数 ( $U_0 d / \nu$ ) である。(13)式もまた  $x$  の関数の部分と  $\eta$  の関数の部分とに分離されており、これが恒等的に成り立つために次の 2 つの式が導かれる。

$$(25/d) \cdot dR(x)/dx = 1/R(x) \quad (14) \quad df(\eta)/d\eta \{ \eta \cdot df(\eta)/d\eta - g(\eta) \} + \{ df(\eta)/d\eta \}^2 + \{ \eta \cdot df(\eta)/d\eta \} \cdot d^2 f(\eta)/d\eta^2 = 0 \quad (15)$$

$$(14) \text{式より } R(x) \text{ を求めると} \quad R(x) = \sqrt{(2/25) \cdot d \cdot x + C} \quad (16)$$

$$(16) \text{式を(14)式に代入し } V(x) \text{ を求めると} \quad V(x) = U_0 \cdot d / \left( 25 \sqrt{(2/25) \cdot d \cdot x + C} \right) \quad (17)$$

次に(12)式と(15)式を連立させて  $f(\eta), g(\eta)$  を求めるのは解析的に困難なため次式のように差分式にして、数值計算すると表-1のようになる。  
 $\eta_i(f_{i+1} - f_i)/\Delta\eta_i = (g_{i+1} - g_i)/\Delta\eta \quad (12')$   
 $+ \{(f_{i+1} - f_i)/\Delta\eta\}^2 + (\delta + f_i)(f_{i+1} - 2f_i + f_{i-1})/\Delta\eta^2 = 0 \quad (15') \quad (\Delta\eta: 格子間隔)$   
 $\eta = \infty$  で  $f(\eta) = 1.0, g(\eta) = 0.0, \eta = -\infty$  で  $f(\eta) = 0.0, g(\eta) = 0.0$  を与える。 $\delta = 0.25$  のときの  $f(\eta), g(\eta)$  を図-2に示す。以上により  $\mu, \nu, \rho$  についてまとめて(16),(17)式(ここで  $x=0$  で混合するとして  $C=0$  とする)と表-1により求められる。

	$\eta$	0.585	0.555	0.5	0.4	0.3	0.2	0.1	0.0	-0.1	-0.2	-0.265	-0.3	-0.348
$\delta = 0.00025$	$f(\eta)$		1.0	0.970	0.910	0.843	0.767	0.680	0.579	0.453	0.274	0.0		
	$g(\eta)$		0.0	-0.016	-0.042	-0.065	-0.084	-0.096	-0.101	-0.094	-0.065	0.0		
$\delta = 0.25$	$f(\eta)$	1.0	0.983	0.950	0.886	0.816	0.739	0.652	0.555	0.443	0.308	0.199	0.127	0.0
	$g(\eta)$	0.0	-0.019	-0.027	-0.055	-0.079	-0.098	-0.111	-0.115	-0.109	-0.087	-0.061	-0.041	0.0

表-1

### 3. 実験および実験値と理論値の比較

実験装置を図-3に示す。これは透明の塩化ビニール製で、長さ150cm、幅4cm、高さ50cmである。左右にヘッドタンクをつけてある。この中に、粒径  $d=0.5\text{cm}$  のアンスラサイトおよび粒径  $d=0.275\text{cm}$  のガラス球をつめ2種の浸透層についてそれぞれ二層流をつくり濃度分布測定の実験を行った。下方主流(淡水)の流速をできるだけ一定にするため、塩水楔の勾配を十分ゆるやかにし、左右の淡水層厚  $h_0$  と先の平均値を平均断面積とし測定流量  $Q$  から流速を求め、これが場所的に一様であると仮定した。また Reynolds 数を計算してみるとほぼ  $10^4$  前後であるため、ダルシー則の適用範囲であることを確認した。濃度分布の測定点は左側のスリットより74cm(A点), 105.5cm(B点)

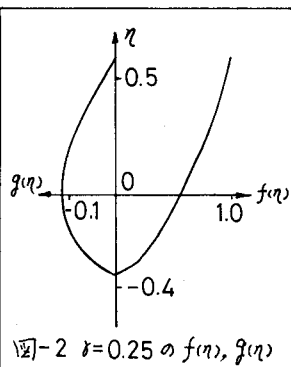


図-2  $\delta = 0.25$  の  $f(\eta), g(\eta)$

の2点で上下方向の濃度と塩分濃度計で測定した。この2点の塩水密度  $\rho_s = 1.025$ 、淡水密度  $\rho_f = 1.0$  で行った。この測定結果を図-4, 5に示す。解析値と比べて大体中心軸ではよいか一致がえられたが上下方向でよろけの誤差が生じている。また図-4, 5を比較すると、スカートの距離が大きくなるほど拡散係数が増大する傾向を示している。次に地下密度流の流況については、着色した淡水をみて觀察していくと、開水路の混合現象と違い、流速が小さいために連行作用がなく、混合領域内の下端近傍で水平流速と垂直流速が0となっていることが觀察された。すなわち塩水部分を壁面のごとく、その上を Nagen-Poiseuille 的な流動を呈しているように思われる。

#### 4. むすび

以上により二層流の定常状態における流速、濃度分布の解がえられたが、本報の相似解においては流速が0となる点で分子拡散の効果があるため濃度分布はその点で  $y=0.0$  にならないと考えられる。今後この点および射流等による非定常状態の混合現象を解明していくことを考えていく。

#### 参考文献

- 1) D.R.F. Harleman "Longitudinal and Lateral dispersion in an isotropic porous medium" Journal of Fluid Mech. Vol.16 part 3 July 1963

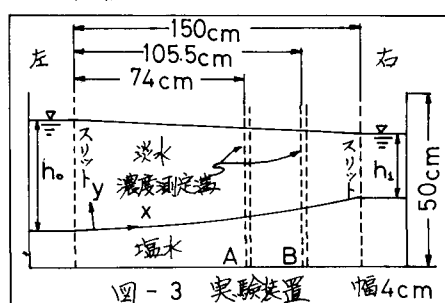


図-3 実験装置 幅4cm

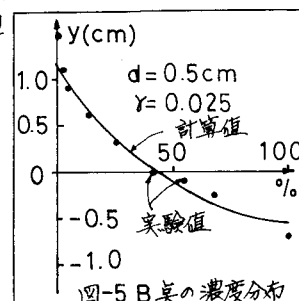


図-5 B点の濃度分布

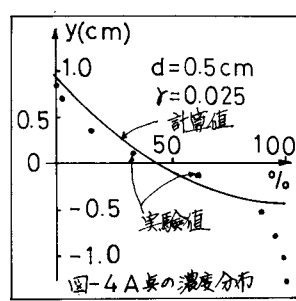


図-4 A点の濃度分布